

مجله علوم و صنایع غذایی ایران

سایت مجله: www.fsct.modares.ac.ir



مقاله علمی پژوهشی

بررسی رفتار رهایش ترکیبات زیست فعال از پودرهای درون پوشانی شده بر پایه آب انار با استفاده از مدل های تجربی

سمیرا امیرسلمانی پور^۱، شیما یوسفی^{۲*}، محمد رضا حسین پور^۳

۱-دانش اموخته کارشناسی ارشد، گروه علوم و صنایع غذایی، دانشکده کشاورزی، دانشگاه آزاد اسلامی واحد علوم تحقیقات تهران، ایران.

۲-استادیار، گروه علوم و صنایع غذایی، دانشکده کشاورزی، دانشگاه آزاد اسلامی واحد علوم و تحقیقات تهران، ایران.

۳-استادیار، گروه شیمی صنایع غذایی، دانشکده کشاورزی، دانشگاه آزاد اسلامی واحد علوم و تحقیقات تهران، ایران.

چکیده

اطلاعات مقاله

تاریخ های مقاله :

تاریخ دریافت: ۱۳۹۹/۰۴/۳۰

تاریخ پذیرش: ۱۳۹۹/۰۸/۱۱

كلمات کلیدی:

آب انار،

ریزدرون پوشانی،

رهایش،

مالتوکسترین،

مدل سازی.

بهینه سازی شرایط عملیاتی خشک کردن پاششی می تواند بستر مناسبی جهت تولید فرآورده هایی با کیفیت فیزیکی و شیمیایی ایده آل باشد. در این تحقیق تاثیر غلظت های متفاوت دیواره (مالتوکسترین) به هسته (عصاره آب انار) بر پاسخ های راندمان ریزدرون پوشانی، محتوی ترکیبات پلی فنلی، فعالیت آنتی اکسیدانی و ترکیبات آنتوسبیانین با استفاده از روش آماری سطح پاسخ و طرح مرکب مرکزی بررسی شد. میزان بهینه سازی بر اساس بالاترین مقدار ترکیبات آنتوسبیانین، پلی فنلی، فعالیت آنتی اکسیدانی و راندمان ریزدرون پوشانی انجام شد. معادله درجه دوم با ضریب همبستگی بالا (۰/۹۶) می تواند به خوبی شرط بهینه نسبت پوشش دیواره (مالتوکسترین) به هسته (عصاره آب انار) ۱۸/۵:۵/۷ را با مطلوبیت ۷۰٪ جهت حصول بالاترین بازده خصوصیات فیزیکو شیمیایی را پیش بینی نماید. جهت مقایسه نتایج تجربی و مدل پیش بینی شده در قالب آزمون تی استیوونت، از نرم افزار آماری SPSS و طرح فاکتوریل در قالب بلوك کامل تصادفی در سطح احتمال ۹۵٪ استفاده شد. تاثیر فرآیند ریزدرون پوشانی بر میزان رهایش ترکیبات زیست فعال طی ۶۰ روز نگهداری در چهار تیمار شامل یخچال/تاریکی، یخچال/نور، محیط/تاریکی و محیط/نور مورد تجزیه و تحلیل قرار گرفت. نتایج آنالیز واریانس اختلاف معنی داری را بین تیمارها نشان داد و تیمار یخچال/تاریکی بیشترین پایداری را نسبت به تیمارهای دیگر داشت. با استفاده از نرم افزار متلب، نتایج تجربی بدست آمده از آزمایش ها با مدل های تجربی بدست آمده از مقالات برآش شدند. مدل درجه اول به عنوان مدل برتر برای هر سه پاسخ ترکیبات پلی فنلی، فعالیت آنتی اکسیدانی و میزان ترکیبات آنتوسبیانین انتخاب شد. در نهایت اینکه تولید پودرهای ریزدرون پوشانی شده عصاره آب انار تحت شرایط بهینه، می تواند جهت توسعه غنی سازی فرآورده های غذایی با پودرهای بدست آمده محسوب گردد.

DOI: 10.52547/fsct.19.122.297

DOR: 20.1001.1.20088787.1401.19.122.2.5

* مسئول مکاتبات:

shyousefi81@gmail.com

زیست شناختی بسیار خوبی همچون ضدسرطانی، ضدبacterیایی ضدجوش، ضدقارچی، فعالیت آنتی اکسیدانی و توانایی حذف رادیکال های آزاد و تقویت سیستم ایمنی بدن، پیشگیری از بیماری های قلبی و فیبروز کبدی و جلوگیری از پراکسیداسیون لیپید حتی در غلظت های پایین تراز ویتامین E را دارد [۶]. آنتوسبیانین ها که فلاونوئیدهایی با فعالیت آنتی اکسیدانی هستند و در خشنده‌گی آب میوه انار را باعث می شوند، طی رسیدن میوه افزایش و پس از پلاسیدگی کاهش می یابند. مواد معدنی موجود در آب میوه انار شامل آهن و عناصری همچون کلسیم، سلنیم، کلر، کبالت، کروم، سریم، مس، پتاسیم، منیزیم، منگنز، مولیبدن، سدیم، رو بیدیوم، اسکاندیوم و روی می باشد. در دهه گذشته، مطالعات فراوانی بر روی خواص آنتی اکسیدانی انار صورت گرفته و نشان داده شده است که سطح ترکیبات آنتی اکسیدانی انار بیش از سایر آب میوه ها و نوشیدنی ها می باشد [۷]. این سطح بالای فعالیت آنتی اکسیدانی انار ناشی از محتوای بالای ترکیبات پلی فنلی شامل آنتوسبیانین ها (۳-گلوكوزید و ۳,۵-دی گلوكوزید های دلغنیدین، سیانیدین و پلارگونیدین)، الازیک اسید، پونیکالاژین و برخی مواد فلاوانولی می باشد [۸]. ترکیبات آنتوسبیانینی در شرایطی مانند حضور آنزیم های درونی، اکسیژن، اسید اسکوربیک، نور، یون های فلری و گرماینده می باشند. بنابراین ترکیبات آنتوسبیانین در برابر عوامل محیطی حساس بوده و امکان تخریب و بی رنگ شدن آن ها وجود دارد [۹]. روش های مختلفی به منظور پایدارسازی آنتوسبیانین ها وجود دارد که از آن جمله می توان به روش ریزدرون پوشانی^۱ اشاره نمود. ریزدرون پوشانی روشی برای حفظ رنگدانه های طبیعی بوسیله به دام انداختن در مواد پوششی دیواره می باشد. هدف اصلی از ریزدرون پوشانی محافظت از مواد هسته در شرایط نامطلوب محیطی از قبیل اثرات نامطلوب نور، رطوبت و اکسیژن می باشد. در نتیجه کمک به رهایش کنترل شده مواد هسته می کند. در فرآیند خشک کردن پاششی، کنترل ریز درون پوشانی جهت تولید

۱- مقدمه

خشک کردن پاششی روشی کارا و توجیه پذیر جهت خشک کردن محصولات غذایی و فصلی می باشد. فرآیند خشک کردن توسط خشک کن پاششی، عبارت است از تبدیل خوراک از حالت محلول به ذرات خشک جامد یا پودر. پایین بودن هزینه نیروی کار، انجام عملیات به صورت مداوم، افزایش زمان ماندگاری، کاهش وزن ماده غذایی و صرفه جویی بسیاری در هزینه های حمل و نقل و نگهداری می باشد از جمله مزایای این روش می باشد [۱]. کیفیت پودر حاصل از این خشک کن تا حد زیادی به نحوه پاشش مایع، انتقال جرم و حرارت بین مایع پاشیده شده و هوای گرم درون محفظه بستگی دارد [۲]. در این روش، هوای گرم (۳۰۰-۱۵۰°C) در محفظه خشک کن دمیده شده و با خوراک ورودی که توسط پاشنده یا اتمایزر^۲ به صورت قطرات / ذرات ریز در آمد، تماس می یابد. در نهایت پودر خشک شده توسط هوا با سامانه سیکلونی حمل شده و ذرات ریز از جریان هوا جدا می گردند. به طور کلی سامانه خشک کن پاششی طوری طراحی می شود که گرم ترین قسمت هوا خشک کننده با قطراتی تماس می یابد که دارای بیشترین رطوبت هستند [۳].

انار^۳ از تیره پونیکاسه^۴ میوه ای است که از نظر تجاری اهمیت فراوانی داشته و به میزان وسیعی در قسمت هایی از آسیا، شمال آفریقا، کشورهای منطقه مدیترانه و خاورمیانه کشت داده می شود. ایران یکی از مهم ترین تولیدکنندگان و صادرکنندگان انار در جهان می باشد. میوه انار به میزان وسیعی به شکل تازه یا فرآوری شده در قالب آبمیوه، مریا، شربت، و یا سس به کار می رود [۴]. انار یک منبع طبیعی غنی از ترکیبات فنلی است که حاوی آنتی اکسیدان هایی همچون تانن، پلی فنل، فلاونوئید و ویتامین ث می باشد [۵]. سایر آنتی اکسیدان های انار شامل توکوفرول ها و آنتوسبیانین ها هستند که خواص پیشگیرنده و درمانی آنها به اثبات رسیده است. آب میوه انار فعالیت های

1. Atomizer

2. Pomegranate

3. Punicaeae

۲۰ کیلوگرم میوه انار با بریکس ۱۶ از شهرستان ساوه خریداری شدند. مواد شیمیایی مورد استفاده شامل اسیدگالیک، رادیکال آزاد (DPPH)^۲، معرف فولین سیوکالتو^۳، مالتودکسترن با درجه اکسی والانت ۶ و متابول از شرکت مرک (آلمان) تهیه شدند. سایر مواد و معرف های موجود در این پژوهش از شرکت سیگما آلدريج (کانادا) در درجه خلوص بالا تهیه شدند.

۲-۲- نحوه آماده سازی نمونه آب انار

ابتدا انارها جهت زدایش آلاینده ها شستشو داده شده و به صورت دستی پوست گیری شده و عمل آبگیری توسط آبمیوه گیر خانگی صورت گرفت. سپس نمونه ها فیلتر شدند و در ظرف های تتراتپک ۵۰۰ میلی لیتر در فریزر (۱۸°C)- نگهداری شدند.

۲-۳- تهیه ریزکپسول ها برای تعیین بهینه پوشش

به هسته

در این پژوهش، محلول هایی حاوی مالتودکسترن (ماده پوششی) و آب انار با بریکس ۶ (هسته) با نسبت های مختلف پوشش به هسته شامل ۲، ۱/۲۴، ۳/۲۴، ۱/۹۵، ۱/۵، ۳، ۱/۳ و ۲/۶۶ شدند. سپس محلول های تولیدی به کمک همزن مغناطیسی به مدت زمان ۳۰ دقیقه با سرعت ۱۰۰۰ دور در دقیقه مخلوط شدند و در نهایت محلول همگنی توسط هموژنایزر (T25 digital IKА) مدل اولتراتراکس (Ultra-Turrax) ساخت شرکت آلمان (rpm ۱۳۰۰۰) به دست آمد. محلول تولیدی توسط یک لوله نازک از طریق پمپ پریستالتیک^۴ با سرعت دوران قابل کنترل (۷۰٪) به دستگاه خشک کن پاششی آزمایشگاهی (مدل B-191، بوچی، سوئیس)^۵ با اتمایزر دو سیالی^۶ با قطر نازل ۰/۷ mm تزریق شد.

بر اساس مطالعات اولیه^۷، متغیرهای ثابت در فرآیند خشک کن پاششی دمای هوای ورودی (۱۳۰°C)، سرعت جریان هوای ورودی (۳/۶ m³/h) و نرخ خوراک ورودی (۸ mL/min)

محصول با کیفیت استاندارد بسیار مهم و ضروری است. بدین منظور پیش بینی چگونگی تغییر پارامترهای کیفی محصول با تغییرات شرایط محیطی و عملیاتی، پیش نیاز طراحی یک سیستم کنترلی مناسب است. شبیه سازی سیستم خشک کن پاششی با استفاده از مدلسازی فرآیندهای انتقال جرم و حرارت و مکانیسم خشک شدن ذرات پاشیده شده انجام می شود. مجموعه معادلات مدلسازی به کمک روش های عددی حل شده و برنامه شبیه سازی نیز با استفاده از نرم افزار برنامه نویسی می شود [۱۰]. روش سطح پاسخ (RSM)^۱ مجموعه ای از روش های ریاضی و آماری است که جهت توسعه، پیشبرد و بهینه کردن فرآیندهای به کار می رود که در آن ها سطح مورد نظر تحت تاثیر متغیرهای بسیاری قرار داشته و هدف بهینه نمودن پاسخ مزبور است. روش سطح پاسخ کاربرد قابل توجهی در طرح ریزی، توسعه و فرموله کردن محصولات جدید، همچنین ارتقای طراحی محصولات جود دارد. این روش تاثیر متغیرهای مستقل بر فرآیند را به تنها یا با هم تعیین می کند. این روش شناسی تجربه ای، علاوه بر آنالیز تاثیرات متغیر مستقل، یک مدل ریاضی که توضیح دهد فرآیند های شیمیایی و بیوشیمیایی است را در اختیار محقق قرار می دهد. در واقع روش سطح پاسخ می تواند یک طرح مناسب آزمایشگاهی را مبتنی بر داده های مقداری جهت تعیین و حل همزمان مسئله های چند متغیره استفاده کند، معادلات بدست آمده تاثیر متغیرهای غیروابسته آزمایشی را بر میزان متغیر پاسخ توضیح داده و رابطه متقابل بین متغیرهای آزمون را مشخص می کند [۱۱]. در مرحله بعد مدل بدست آمده حاصل از داده های آزمایشگاهی با مدل های تجربی بدست آمده از مطالعات با استفاده از نرم افزار مطلب برآش خواهند شد و مدل برتر از میان مدل های تجربی انتخاب می شود.

۲- مواد و روش ها

۲-۱- مواد مورد استفاده در تحقیق

- 2. 1,1-diphenyl-2-picrylhydrazyl (DPPH)
- 3. Folin-Ciocalteu's reagent
- 4. Peristaltic pump
- 5. Mini Spray dryer Buchi (B-191)
- 6. Two-fluid nozzle
- 7. Preliminary study

1. Response surface methodology (RSM)

۱-۳-۲- ارزیابی بازده تولید

میزان آنتوسباینین پودر تولیدی و عصاره انار مورد استفاده قبل از عملیات خشک شدن پاششی بر حسب میلی گرم بر میلی لیتر
جهت تعیین راندمان تولید به کار گرفته شدند [۱۳].
میزان آنتوسباین بعد پودر - میزان آنتوسباین هسته قبل پودر = راندمان
میزان آنتوسباین هسته قبل پودر

انتخاب شدند [۱۱، ۱۲]. پودر تولیدی در محفظه زیر سیلکون در انتهای مسیر جمع آوری شده و بلافاصله برای سردکردن به دیسیکاتور منتقل شدند. سپس در ظروف مخصوص تیره رنگ و شیشه ای در دمای محیط و در یخچال در مقابل نور و تاریکی برای انجام سایر آزمایش ها نگهداری شدند. پس از تهیه پودر آب انار اندازه گیری محتوی ترکیبات پلی فنی، آنتوسباین و فعالیت آنتی اکسیدانی در ۱۳ تیمار انجام شد (جدول ۱).

Table 1 determination optimal of the wall to the core by CCD*

Run	Wall/core	Polyphenol ($\mu\text{g/mL}$)	Anthocyanin (mg/mL)	Antioxidant activity (%)	Encapsulation efficiency (%)
1	2.017	16.53	51.45	32.11	53.22
2	1.2	26.816	78.55	28.87	28.59
3	3.24	14.344	40.6	37.32	63.09
4	1.95	17.28	70.45	23.1	35.95
5	3	16.528	43.35	32.74	60.59
6	1.5	21.936	75.85	27.81	31.04
7	1.34	23.264	77.65	39.62	29.40
8	2.66	16.752	46.05	38.65	58.13
9	2	16.75	50.55	30.24	54.04
10	2	17.56	54.95	30.88	50.04
11	2	18.06	60.05	29.56	45.40

Central composite design*

فعالیت آنتی اکسیدانی در قالب درصد بازدارندگی رادیکال آزاد DPPH و بر طبق روش توضیح داده شده توسط Yousefi و همکاران (۲۰۱۴) ارزیابی شد [۱۵]. براساس محلول استوک با حل نمودن ۶ میلی گرم رادیکال آزاد در ۱۰۰ میلی لیتر متانول (۰/۰۰۶۲۵ میلی مول بر لیتر) تهیه و در دمای اتاق تحت شرایط تاریکی نگهداری شد. ۰/۱ میلی لیتر از نمونه حاوی عصاره رقیق شده با ۳/۹ میلی لیتر محلول استوک آماده شده مخلوط گردید. محلول کترول رادیکال آزاد با استفاده از ترکیب محلول DPPH و متانول هم حجم آن تهیه گردید. جذب در طول موج ۵۱۷ نانومتر در زمان های متوالی متفاوت تا رسیدن به شرایط پایدار CEILE-2 (انگلستان) خوانده شد. غلاظت DPPH در محیط واکنشی با استفاده از منحنی کالیبراسیون تعیین گردید. مقدار DPPH باقیمانده ($DPPH_{\text{rem}}$) در شرایط پایا با استفاده از رابطه ۲ بدست آمد.

۲-۳-۲- تعیین محتوای کل ترکیبات فنلی

روش Lu و همکاران (۲۰۱۱) جهت ارزیابی محتوای ترکیبات فنل کل با استفاده از معرف فولین سیوکاتیو به کار گرفته شد. به طور خلاصه، مقدار ۰/۱ میلی لیتر از نمونه به ۰/۷۵ میلی لیتر واکنشگر فولین که به نسبت ۱ به ۱۰ با آب مقطر رقیق شده بود، افزوده گردید. پس از ۱۰ دقیقه نگهداری مخلوط در دمای محیط، ۰/۷۵ میلی لیتر کربنات سدیم (۲۰٪) اضافه شد. پس از ۴۵ دقیقه نگهداری در تاریکی، جذب مخلوط نهایی با استفاده از دستگاه اسپکتروفوتومتر (مدل ۲ CEILE-2، انگلستان) در طول موج ۷۶۵ نانومتر خوانده شد. به منظور ارزیابی صحیح مقادیر قرائت شده، منحنی استاندارد برای اسید گالیک ترسیم شد. میزان کل ترکیبات فنلی بر اساس منحنی استاندارد گالیک اسید $Y=0.0776X+0.0117$, $R^2=0.9986$ تعیین گردید [۱۴].

۳-۳-۲- سنجش فعالیت آنتی اکسیدانی

گردید (جدول ۱). طرح آزمایشی شامل چهار تیمار فاکتوریلی (آزمایش ۱ تا ۴)، چهار تیمار محوری (آزمایش ۵ تا ۸) و ۵ تیمار مرکزی (آزمایش ۹ تا ۱۳) است. DF، MW، L و ϵ به ترتیب مقدار جذب، وزن مولکولی، عامل رقت، عرض سل و ضریب جذب مولی مولکول سیانیدین-۳-گلوکوزید در دو طول موج ۵۱۰ و ۷۰۰ نانومتر می‌باشدند.

می‌باشد. پاسخ‌های طرح نیز شامل راندمان ریزدرون پوشانی، محتوای ترکیبات فلزی و فعالیت آنتی اکسیدانی بودند. سطح آلفای α چرخشی بر اساس رابطه ۵ در این طرح لحاظ گردید:

$$(5)$$

$$\alpha^{(2)} = \text{تعداد تیمارهای فاکتوریلی موجود در طرح}$$

از آنجایی که در طرح حاضر تعداد تیمارهای فاکتوریلی ۴ می‌باشد، لذا بر پایه رابطه فوق مقدار $\pm 1/41$ برای ϵ درنظر گرفته شد، پس از انجام آزمایش‌ها (میزان آنتوسیانین، درصد بازدارندگی رادیکال آزاد و میزان فلز کل)، آنالیز پاسخ‌ها نسبت به تعیین بهینه پوشش به هسته انجام شد. کیفیت مدل‌های برآشنا یافته با استفاده از ساختارهای همچون ضریب همبستگی (R^2)، ضریب همبستگی تنظیم یافته (R^2_{adj})، ضریب دقت کافی (ADP^2) و ضریب تغییرات (CV^3) ارزیابی شدند (جدول ۲) [۱۷]. در فاز دوم این پژوهش تاثیر سه متغیر شامل دمای نگهداری (۴ و ۲۴ درجه سانتی گراد)، شرایط نگهداری (نور و تاریکی) و زمان ماندگاری در روزهای (۱، ۳، ۷، ۱۰، ۲۰، ۳۰، ۴۰، ۵۰) بر پاسخ محتوای ترکیبات آنتوسیانین، محتوای ترکیبات آنتی اکسیدانی و ترکیبات فلز کل بررسی شدند. در مرحله بعد داده‌های تجربی بدست آمده از آزمایش‌ها با مدل‌های SPSS تجربی آماده موجود در مقالات با استفاده از نرم افزار توسط آزمون تی استیوپونت مقایسه شدند. مدلی که کمترین خطا و ضریب همبستگی بالاتری را برخوردار بود به عنوان مدل مطلوب انتخاب شد. همچنین برای مقایسه نتایج تجربی بهینه بدست آمده از طرح فاکتوریل در قالب بلوك کامل تصادفی در سطح اطمینان ۹۵٪ استفاده شد.

$$\text{DPPH} = \frac{(\text{DPPH})_{ss_rem}}{(\text{DPPH})_c} \times 100$$

که c (DPPH) و ss (DPPH) به ترتیب مقادیر رادیکال آزاد اولیه و مقدار آن در شرایط پایا می‌باشد.

۲-۳-۴- تعیین محتوای آنتوسیانین

اندازه گیری محتوی ترکیبات آنتوسیانین بر اساس روش Worstad و Garzin (۲۰۰۱) انجام گرفت که اساس این روش بر اساس اختلاف pH می‌باشد. برای ساخت بافر، مقدار ۰/۱۸ گرم پتاویم کلراید در ۵۰ میلی لیتر آب مقطر حل شد. سپس به محلول، قطره قطره اسید کلریدریک و آب مقطر (نسبت ۱:۱) اضافه شد تا pH روی ۱ تثیت شود. برای ساخت بافر ۴/۲۳ گرم استات سدیم را در ۵۰ میلی لیتر آب مقطر حل نموده و به محلول قطره قطره اسید استیک و آب (نسبت ۱:۱) را تا رسیدن pH=۴/۵ به اضافه می‌کنیم. سپس ۰/۵ میلی لیتر از نمونه آب انار صاف شده با کاغذ صافی با هر کدام از بافرها در بالن ۵ میلی لیتر به حجم رسانده شد و به مدت ۲ ساعت در تاریکی نگهداری شدند. سپس نمونه‌ها با دستگاه سانتریفیوژ با ۳۵۰۰ دور در دقیقه به مدت ۱۵ دقیقه سانتریفیوژ شده و با استفاده از دستگاه اکسپکتوفتومتری با طول موج ۵۱۰ و ۷۰۰ نانومتر جذب نمونه خوانده شد. در این آزمایش از بافرهای ۴/۵ و ۱ به عنوان شاهد استفاده شده است و میزان آنتوسیانین‌ها معادل سیانیدین-۳-گلوکوزید طبق روابط (۴-۳) محاسبه گردید [۱۶].

(۳)

$$(A510nm - A700nm) pH1 - (A510nm - A700nm) pH4.5$$

$$\text{Anthocyanin(mg/ml)} = A \times MW \times DF \times 1000 / \epsilon \times L$$

۴- بهینه سازی و آنالیز آماری

در این طرح ابتدا با کمک نرم افزار آماری دیزاین اکسپریت (نسخه ۸، آمریکا) در قالب طرح مرکزی چرخشی (CCRD)^۱ نسبت به بهینه سازی نسبت پوشش به هسته با ۱۳ تیمار اقدام

2. Adequate precision
3. Coefficient of variation

1. Central composite rotatable design (CCRD)

Table 2 Variance analysis compounds Anthocyanin, polyphenol, antioxidant activity

Reference	Anthocyanin(mg/ml)			Polyphenol (µg galic acid/ml)			Antioxidant activity (%)		
	Coefficient	Sum of squares	P-value	Coefficient	Sum of squares	P-value	Coefficient	Sum of squares	P-value
Liner									
Core (A)	-13	52.84	<0.0001**	-3.24	83.96	<0.0001**	-1.93	29.77	0.0006**
Wall (B)	5.34	8.23	0.11600 ^{ns}	0.3242	0.8408	0.2026 ^{ns}	0.88	56.23	0.0001**
Quadratic									
Square of core(A ²)	-0.343	0.22	0.5959 ^{ns}	0.1629	0.1629	0.5312 ^{ns}	-0.75	0.12	0.7105 ^{ns}
Square of wall(B ²)	-14.01	54.80	<0.0001**	2.49	0.4297	<0.0001**	3.68	22.45	0.0013**
Interaction									
wall & core (A×B)	-0.037	0.040	0.8200 ^{ns}	0.2600	0.2705	0.4515 ^{ns}	0.49	0.98	0.3138 ^{ns}
Lack-of-fit		1.07	0.78430 ^{ns}		0.4656	0.8638 ^{ns}		0.98	0.3767 ^{ns}
Pure error		3.94			2.52			0.72	
R ²	0.9552			0.9773			0.9499		
Radj	0.9301			0.9611			0.9141		
Cv	6.52			3.38			1.76		
Adequate precesion	19.197			23.346			16.680		

**, *, ns : Represent significant at level of p<0/05, p<0/01 and not- significant respectively

دوم شاخص های پاسخ یعنی ترکیبات آنتوسبیانین، محتوی فنل کل و فعالیت آنتی اکسیدانی به ترتیب ۰/۹۵۹۴، ۰/۹۷۷۳ و ۰/۹۴۹۹ و ۰/۹۳۰۱، ۰/۹۶۱۱، ۰/۹۱۴۱ تعیین شد (جدول ۲). مقادیر ضریب تغییرات مدل های تبیین یافته برای ترکیبات آنتوسبیانین، فنل کل و آنتی اکسیدانی به ترتیب ۶/۵۲، ۳/۳۸، ۱/۷۶ محسوبه شدند (جدول ۲). در نهایت ضریب دقت بین ۱۱۶/۶۸۰ تا ۲۳/۰۳۴۶ متغیر بود که این امر می تواند کیفیت مدل های برآذش یافته را اثبات نماید [۱]. شکل (۱) نیز با مقایسه داده های برآذش یافته را اثبات نماید. شکل (۱) نیز با مقایسه داده های تجربی و پیش بینی شده، کارایی مدل های درجه دوم برآذش یافته را تایید می نماید. نتایج نشان داد که اثرات خطی متغیرهای غیروابسته بر میزان محتوی ترکیبات آنتوسبیانین، فنل کل و ترکیبات آنتی اکسیدانی معنی دار بودند. در میان اثرات درجه دوم و برهمنکش، تنها اثر درجه دوم پوشش دیواره معنی دار بود. بر پایه آنالیز واریانس و ضریب رگرسیونی مدل درجه دوم برآذش شده اثر خطی غاظت ترکیبات هسته (A) و اثر درجه دوم پوشش دیواره (B²) و اثر خطی درصد پوشش دیواره (B) به ترتیب تاثیرگزارترین پارامترهای موجود بر میزان ترکیبات زیست فعال بودند.

۱-۴-۲- یافته ها

۲-۴-۲- برآذش داده ها و مدل سازی سطح پاسخ همانطور که در جدول ۲ مشاهده می شود، داده های آزمایشی حاصل از آنالیز محتوی ترکیبات فنلی کل، فعالیت آنتی اکسیدانی و محتوی ترکیبات آنتوسبیانین با استفاده از معادلات درجه دوم به طور رضایت بخشی برآذش یافت. برآذش داده ها در سطح احتمال کمتر از ۰/۰۰۱ معنی دار بودند، در حالی که شاخص عدم برآذش^۱ به طور قابل توجهی غیر معنی دار ارزیابی شد. معادلات برآذش یافته درجه دوم برای پاسخ های سه گانه محتوی ترکیبات آنتوسبیانین (Y₁)، فنلی کل (Y₂)، فعالیت آنتی اکسیدانی (Y₃) به ترتیب در روابط ۸-۶ آمده است:

$$Y_1=11.35-2.57*A+1.01*B+0.10*A*B-0.18*A^2+2.81*B^2 \quad (۶)$$

$$Y_2=17.683.24*A+0.32*B+0.26*A*B+0.16*A^2+2.49*B^2 \quad (۷)$$

$$Y_3=50.74 -1.93*A+2.65*B-0.49*A*B-0.13*A^2+1.80*B^2 \quad (۸)$$

در این روابط، A و B به ترتیب دو متغیر مستقل هسته و پوشش می باشند. ضریب R² و adj R² برای مدل های درجه

1. Lack of fit

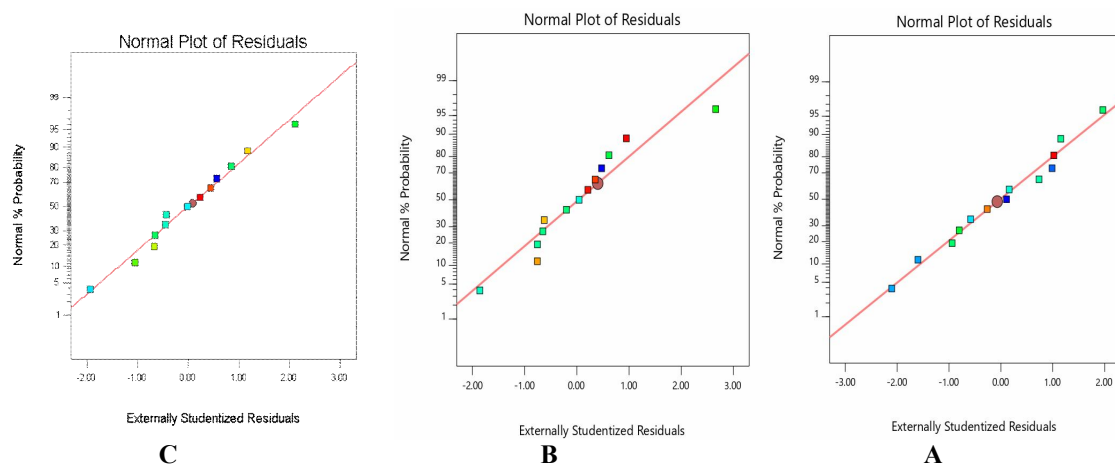


Fig 1 Comparison of experimental and predicted data for A: Anthocyanin B: Polyphenol C: antioxidant activity of encapsulated pomegranate juice powder

با مطلوبیت $^{1} ۰/۷۰$ به دست آمد. میزان آنتوکسیانین، محتوی فنل کل و فعالیت آنتی اکسیدانی در نقطه بهینه به ترتیب $۸۸/۳۰۹$ میلی گرم در میلی لیتر، $۲۳/۶۳۶$ میکرو گرم بر میلی لیتر بر حسب گالیک اسید و $۳۷/۲۱۷$ درصد بود. جهت مقایسه نتایج تجربی و مدل پیش بینی در نرم افزار RSM از SPSS در قالب آزمون p -value بدست استیوونزت بهره گرفته شد. با توجه به میزان p -value بدست آمده ($< ۰/۰۱$) تفاوت معنی داری بین داده های تجربی و مدل پیش بینی شده وجود ندارد و داده های تجربی و مدل پیش بینی شده اختلاف کمی با هم دارند همچنین برای مقایسه نتایج تجربی بهینه بدست آمده از طرح فاکتوریل در قالب بلوک کامل تصادفی در سطح احتمال ۹۵% استفاده شد با توجه به خطای استاندارد کمتر داده های تجربی ترکیبات فنل کل نسبت به فعالیت آنتی اکسیدانی و میزان آنتوکسیانین ها نتایج بهتری را نشان دادند و به عنوان نتایج تجربی بهینه شناخته شدند.

در فاز دوم پژوهش، تاثیر شرایط نگهداری (دماي محیط و يخچال) و زمان ماندگاری ۶۰ روز به ترتیب در روزهای ($۱, ۳, ۷, ۱۰, ۲۰, ۴۰, ۵۰, ۶۰$) بر پاسخ محتوای ترکیبات زیست فعال (ترکیبات آنتوکسیانین، پلی فنلی و فعالیت آنتی اکسیدانی) پودرهای ریزدرون پوشانی شده عصاره آب انار به ترتیب در نمونه های يخچال- تاریکی، يخچال-نور، محیط-تاریکی، محیط-نور مورد بررسی قرار گرفت (شکل ۲، ۳ و ۴). در مورد

نتایج نشان داد افزایش غلظت ترکیبات دیواره (مالتو دکسترین) از $۱۱/۵۰$ تا ۱۵ درصد منجر به کاهشی معنی داری در میزان ترکیبات زیست فعال خواهد شد و از طرفی با افزایش غلظت ترکیبات دیواره از ۱۵ تا $۱۹/۹۵$ درصد، افزایشی معنی داری در میزان ترکیبات زیست فعال پودر آب انار تولیدی مشاهده شده است. همچنین با افزایش مقدار ترکیبات هسته از $۴/۹۵$ به $۱۰/۰۵$ درصد، میزان ترکیبات زیست فعال پودر تولیدی به صورت خطی کاهش یافت. مطابق نتایج اختلاف معنی داری بین مقادیر تجربی و میزان عددی پیش بینی شده در این تحقیق مشاهده نگردید. پراکنش مقادیر باقی مانده که تفاوت بین میزان عددی پیش بینی و مقدار تجربی را نشان می دهد خط مستقیمی را تشکیل می دهد و مقادیر باقی مانده به شکل نرمال در دو سمت خط پراکنده اند. این نمودار نشان دهنده برازش معقول نقطه مورد آزمایش با مقدار پیش بینی شده توسط مدل بود (شکل ۱). همچنین مقدار عددی داده های تجربی و داده های قابل پیش بینی در ترکیبات آنتوکسیانین، محتوی فنل کل و فعالیت آنتی اکسیدانی در جدول ۳ آورده شده است. بهینه سازی متغیرهای مستقل پس از تجزیه و تحلیل آماری بر اساس دستیابی به بالاترین میزان آنتوکسیانین، محتوی فنل کل و فعالیت آنتی اکسیدانی صورت پذیرفت. فرمولاسیون بهینه در نمونه تولیدی شامل ترکیب هسته $(۵/۷۰)$ درصد) و مالتودکسترین به عنوان پوشش دیواره ($۱۸/۵۰$ درصد)

بر حسب درصد) را دارا بودند. به این ترتیب تیمار یخچال-تاریکی به عنوان مطلوب ترین تیمار شناخته شد، بعد از تیمار یخچال-تاریکی تیمار مربوط به یخچال-نور، محیط-تاریکی و محیط-نوری ترتیب حائز رتبه های بیشترین تا کمترین میزان فعالیت آنتی اکسیدان را شامل شدند ($P < 0.05$). نتایج تجزیه و تحلیل واریانس داده های اندازه گیری شده نشان داد که میزان ترکیبات آنتوسیانین، فنل کل و فعالیت آنتی اکسیدانی در نمونه شاهد (نمونه عصاره آب انار بدون فرآیند ریزdroon پوشانی در شرایط مشابه) با نمونه یخچال-تاریکی اختلاف کمی دارد.

چهار تیمار مورد بررسی، تیمار مربوط به یخچال-تاریکی به طور معنی داری بیشترین ترکیبات زیست فعال (میزان ترکیبات آنتوسیانین 109 ± 0.11 میلی گرم در میلی لیتر، میزان ترکیبات فنل کل 28.97 ± 0.4 بر حسب میکروگرم گالیک اسید بر میلی لیتر و میزان فعالیت آنتی اکسیدانی 34.47 ± 0.76 بر حسب درصد) و تیمار محیط-نور کمترین میزان ترکیبات زیست فعال (میزان ترکیبات آنتوسیانین 91.96 ± 0.11 میلی گرم بر میلی لیتر، میزان ترکیبات فنل کل 20.779 ± 0.3 میکروگرم گالیک اسید بر میلی لیتر، میزان فعالیت آنتی اکسیدانی در این تیمار 36.5 ± 0.60 میلی لیتر، میزان فعالیت آنتی اکسیدانی در این تیمار 15 ± 1.0 میلی لیتر).

Table 3 Comparison of experimental results and predicted model

Parameter	Dependent Variable		
	Anthocyanin (mg/mL)	Polyphenol (μg/mL)	Antioxidant (%)
Prediction	87.57 ± 0.95	23.35 ± 0.39	36.80 ± 0.65
Experimental*	87.53 ± 0.60	23.37 ± 0.08	36.5 ± 0.60

*Experimental data obtained from three repetition tests & Data in the table has been shown as mean \pm standard deviation

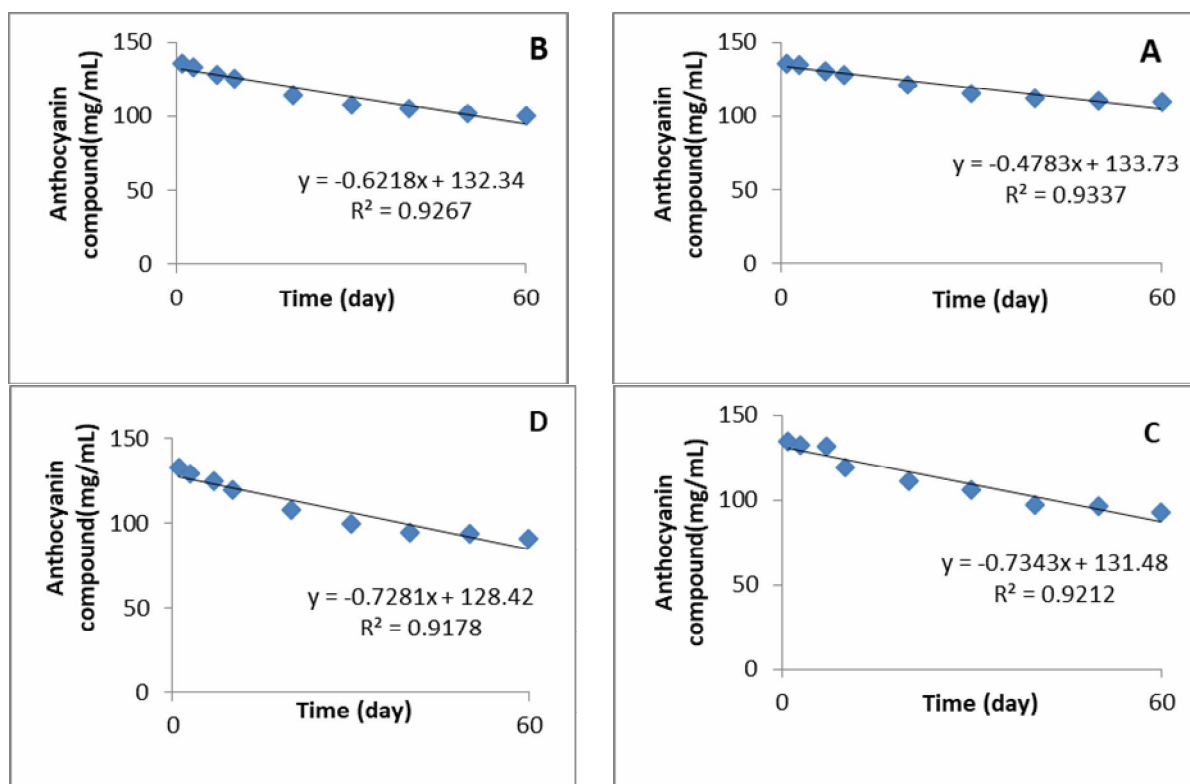


Fig 3 Changes of concentration in anthocyanin compounds during 60 days. A: refrigerator-dark, B: refrigerator-light, C: environment-dark, and D: environment-light conditions.

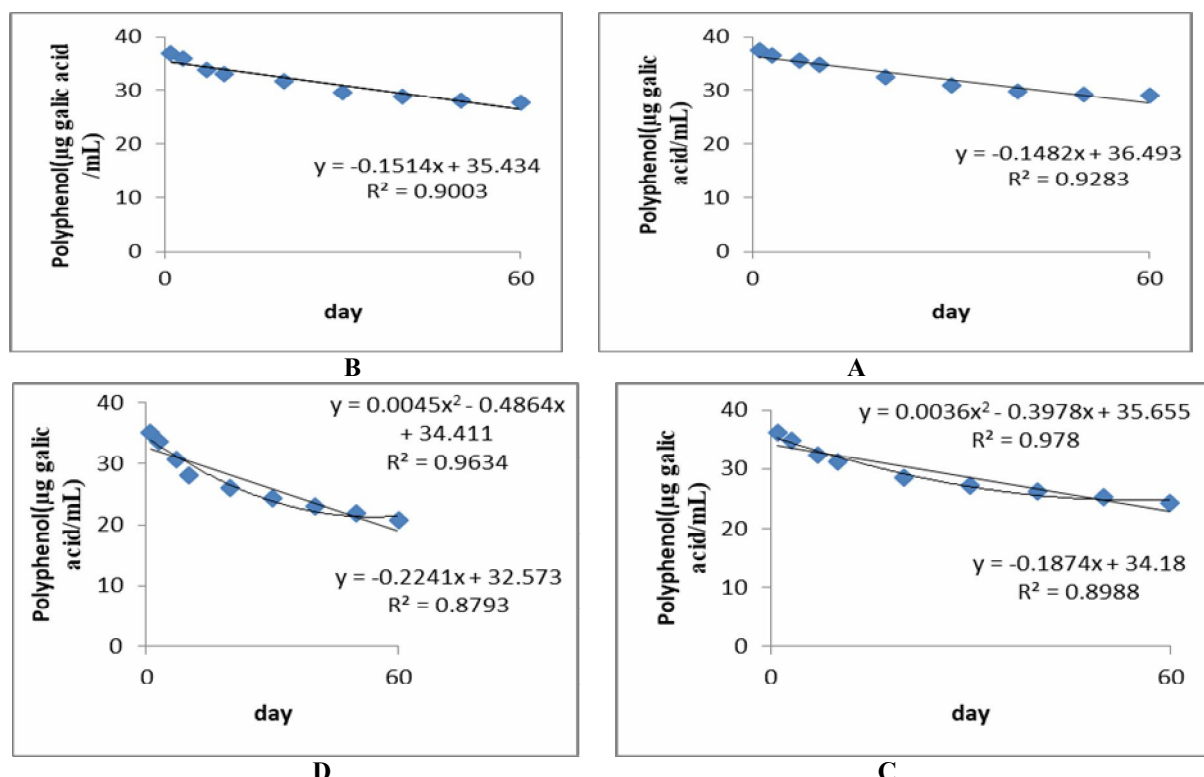


Fig4 Changes of concentration in Polyphenol compounds ($\mu\text{g gallic acid/mL}$) during 60 days A: refrigerator-dark, B: refrigerator-light, C: environment-dark, D: environment-light conditions

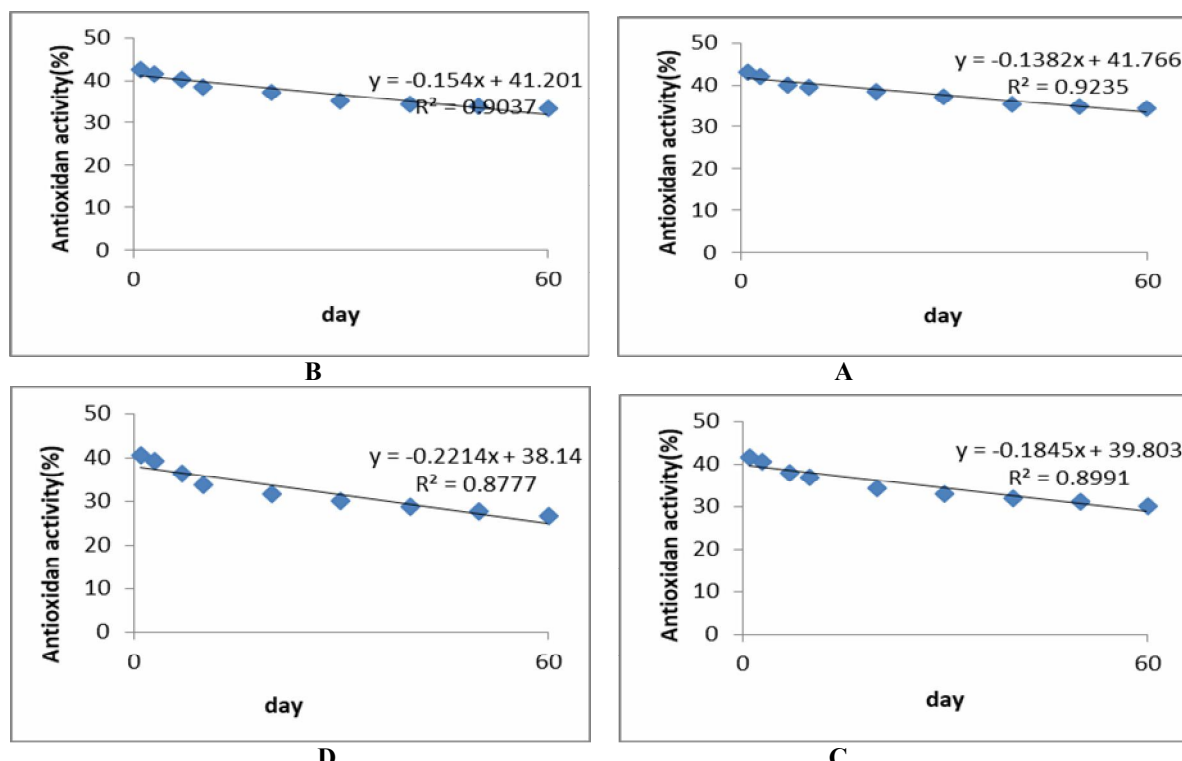


Fig 5 Changes of concentration in antioxidant activity (%) during 60 days A: refrigerator-dark B:refrigeratore-light C: environment-dark D: environment-light conditions

فعال در چهار تیمار و مدل‌های تجربی انتخاب شده موجود در مقالات (**First-order** و **zero-order**)، توسط ابزار برازش منحنی نرم افزار متلب برازش شدند که نتایج در جدول ۴ آورده شده است.

در قسمت نهایی تحقیق، مدل سازی سیتیکی رفتار رهایش ترکیبات زیست فعال در چهار تیمار با استفاده از نرم افزار مطلب انجام شد. با توجه به اینکه رفتار رهایش ترکیبات زیست فعال از دو مدل **First-order** و **Zero-order** تبعیت می‌کند. داده‌های آزمایشگاهی بدست آمده ناشی از رهایش ترکیبات زیست

Table 4 Coefficients of the synthetic models used to release the compounds

Column1 Compound	Column2 model	Column3 Reduction	Column4T dark-refrigerator	Treatments	Column8 dark-environment	Column10 light-environment
constant rate rate						
Anthocyanin	zero-order	k	-0/6207	-0/6296	-0/7233	-0/7361
(mg/ml)	First-order	k	0/0055	0/0059	0/0066	0/0068
Polyphenol	zero-order	k	0/1352	0/1463	-0/1834	0/241
(μ g galic acid/ml)	First-order	k	0/0043	0/0048	0/0066	0/0089
Antioxidant activity(%)	zero-order	k	-0/1342	-0/1442	-0/1805	-0/2262
	First-order	k	0/0036	0/0040	0/0053	0/0073

داده هایشان متناظر تجربی و پیش‌بینی شده نزدیک به ۱ می‌باشد، لذا می‌توان بیان کرد که مدل‌ها تبیین یافته از پتانسیل بالایی برای برازش داده‌های آزمایشی برخوردار می‌باشند. ضریب تغییرات می‌بایستی عددی ما بین ۰ و ۱۰ باشد تا میزان خطای مدل جهت تعیین نقطه بهینه قابل پذیرش باشد. از آنجایی که مقادیر این ضریب برای میزان آنتوسیانین، فنل کل و فعالیت آنتی اکسیدانی به صفر نزدیک بودند، بنابراین می‌توان نتیجه گرفت که در صد عدم برازش به طور قابل توجهی پایین باشد. در نهایت ضریب دقت بالایی بدست آمده نیز می‌تواند گویای کارایی مدل‌های برازش یافته برای سنجش شرایط بهینه نهایی جهت تولید پودرهای ریزدرون پوشانی شده عصاره انار باشد، چرا که ضرایب دقت بالاتر از ۴ نشان دهنده تبیین مدلی مناسب با اختلالات یا خطاهای ناخواسته کمتر می‌باشد [۱۴]. راندمان پودر ریزدرون پوشانی شده یکی از مهم ترین شاخص‌های فرآیند خشک کردن پاششی محسوب می‌شود. با افزایش مقدار مالتودکسترنین به عنوان پوشش دیواره، میزان ترکیبات زیست فعال و نیز راندمان ریزدرون پوشانی افزایش یافت. مدل‌های پیشنهادی در این پژوهش دارای مقادیر بالای R^2 و $R^2(\text{adj})$ هستند که ضعف برازش بی معنی و ضریب تغییرات پایین آنها نشان دهنده کارایی مدل‌های ارایه شده در پیش‌بینی پارامترهای

در مرحله بعد مدل‌های سیتیکی بدست آمده با توجه به ضرایب تعیین شده برای سه گروه ترکیبات زیست فعال (آنتوسیانین، فنل کل و آنتی اکسیدانی) به صورت جداگانه رسم شد. میزان **R** (ضریب تبیین) و **RMSE** (ریشه میانگین مربعات خطای) هر مدل برای سه گروه ترکیبات زیست فعال مربوط به ۴ تیمار، توسط نرم افزار متلب به دست آمد. معیار مدل برتر، حداقل مقدار **R** و حداقل مقدار **RMSE** بود. با توجه به مقادیر **R** و **RMSE** بدست آمده در گروه آنتوسیانین‌ها، پلی‌فنل‌ها و آنتی اکسیدان‌هادر ۴ تیمار، مدل **First-order** با حداقل مقدار **R** و حداقل مقدار **RMSE** به عنوان مدل برتر انتخاب شد. مقادیر **R** و **RMSE** برای مدل **First-order** در شرایط آزمایش شده به ترتیب در ترکیبات آنتوسیانین (۰/۹۹۰۴)، فنل کل (۰/۹۱۳۰، ۰/۶۲۷۸) و فعالیت آنتی اکسیدانی (۰/۹۸۴۵، ۰/۶۱۹۸) بدست آمد.

۳- بحث و نتیجه گیری

۳-۱- بحث

در ارتباط با برازش داده‌های تجربی با مدل‌های درجه دوم در نرم افزار **RSM**، از آنجایی که کلیه ضرایب بدست آمده برای

آنتوسيانين را در ۴ گونه بلوبرى در حضور نور و در غياب نور بررسى کردند. نتائج نشان داد ميزان تخریب آنتوسيانين در حضور نور بيشتر بود و ميزان تركيبات آنتوسيانين نمونه ها در غياب نور بيشتر بود [۲۱]. تاثير دما بر پايداري آنتوسيانين ها توسيط محققان بررسى شده است. تجزيه آنتوسيانين ها موجب تبديل رنگ قرمز شفاف آب ميوه به محصول بي رنگ يا قهوه اي مายل به قرمز مى شود. ماركاکيس در سال ۱۹۸۲ از روی شواهد احتمال باز شدن حلقه هيتروسيكليك و تشكيل شالكون را، اولين قدم در تجزيه آنتوسيانين در آب سيب ميكروكپسوله شده با روش خشك کردن پايشني در دو دمای ۴ و ۲۵ درجه سانتي گراد بررسى کردن که مقدار تركيبات آنتوسيانين در دمای ۴ درجه بيشتر گزارش شد [۲۲]. کاهش تركيبات پلي فنل در آب انار در اثر دما و زمان به علت آنزيم پلي فنل اكسيداز و واکنش تجزيه اي غيرآنزمى مانند تخریب آنتوسيانين ها توسيط اميد اسکوربيك و همچنين تشكيل ساختارهای پلimerی از تركيبات فنلى مى باشد [۲۳]. **Klimeczak** و همكاران در سال ۲۰۰۷ نيز روند کاهشی را برای ميزان تركيبات فنل کل نمونه هاي آب پرتقال طی شش ماه دوره نگهداري در دماهای ۱۸، ۲۸ و ۳۸ درجه سانتي گراد را بررسى کردن و کاهش معنى داري را در ميزان تركيبات فنلى مشاهده نمودند [۲۴]. همچنين بوران بايو و همكاران در سال ۲۰۱۴ تغييرات در ميزان آنتوسيانين و پلي فنل شاه توت را پس از ۸ ماه نگهداري در دمای ۲۰، ۳۰، ۴۰ درجه سانتي گراد مورد بررسى قرار دادند. بر اساس تحقيقات انجام شده، پايداري تركيبات فنل در دماهای پاين و عدم حضور نور بيشتر مى باشد. همچنين نور سبب القاي واکنش هاي اتواكسيداسيون شده و در نتيجه تجزيه تركيبات پلي فنلى را تسريع مى نمایند. تخریب آنتي اكسidan ها به طور مستقيم تحت تاثير فاكتورهای دما و زمان مى باشد. با تخریب و کاهش تركيبات فنلى کل و ساير تركيبات فيتوشيميايی فعالیت آنتي اكسيدانی نيز کاهش مى يابد [۲۵]. **Rababah** و همكاران در سال ۲۰۰۴ گزارش کردن که قابلیت مهارکنندگی راديکال آزاد تحت تاثير ساختار اميد فنليک، فلاونوييد ها و همچنين مشتقات آنها مانند تعداد گروههای هيدروكسيل در مولکول مى باشد [۲۳]. مشابه نتائج تحقيق حاضر، **Klimeczak** و همكاران در سال ۲۰۰۷ گزارش کردن که خاصیت مهارکنندگی

مورد ارزیابی است. **Tumbas Šaponjac** و همكاران (۲۰۱۶) از روش سطح پاسخ به منظور دستیابی به بالاترین مقدار پلي فنل و بيشينه فعالیت آنتي اكسيدانی در عصاره تفاله چغمدرقدن با استفاده از خشك کن پايشني استفاده کردن. تاثير فاكتور نسبت هاي مختلف دیوار به هسته (۵۰، ۱۰۰، ۱۵۰) در پاسخ ها مورد آزمایش قرار گرفت که در شرایط بهينه نسبت دیوار به هسته ۱۵۰ بدبست آمد که با نتائج اين تحقيق مطابقت دارد [۱۸]. طبق نمودارهای رسم شده (۳-۵ ميزان رهايش تركيبات زيست فعال آنتوسيانين، پلي فنل و آنتي اكسيدانی) در طی مدت زمان ماندگاري ۶۰ روز، بيانگر اين است که در دمای محيط و در معرض نور با گذشت زمان، مقادير تركيبات زيست فعال به شكل معنى داري کاهش يافت ($P<0.05$). كمترین ميزان تركيبات زيست فعال مربوط به تيمار محيط-نور و بيشترین ميزان تركيبات زيست فعال مربوط به تيمار يخچال-تاريکي مى باشد. با مقاييسه روند کاهش در تركيبات زيست فعال در ۶۰ روز با توجه به شيب منحنی بدبست آمده، بيشترین سرعت رهايش در روزهای اول نگهداري صورت گرفت که روند کاهش تركيبات زيست فعال در روزهای اخر با سرعت کمتری اتفاق افتاد. روند کاهش تغييرات در تركيبات پلي فنل و آنتي اكسيدانی طی ۶۰ روز نگهداري، با توجه به ضريب همبستگي بدبست آمده از نمودار (**R**) مشابه بوده است. کاتيون فلاويليوم آنتوسيانين ها به دليل کمبود الکترون دارای قابلیت واکنش زيادي است که اين واکنش ها سبب تغيير رنگ اين رنگدانه مى شود. بنابراین همانگونه که انتظار مى رود آنتوسيانين ها معمولا در غذاهايی که به مدت طولاني ذخیره مى شوند، تا حدی تجزيه مى شوند. نتائج حاصل مبين اين نكته است که زمان عامل مهمی در تخریب و تجزيه آنتوسيانين ها به شمار مى رود. اين يافته ها با نتائج حاصل از مطالعات **Ray** و همكاران در سال ۲۰۱۶، در مورد تخریب تركيبات آنتوسيانين پودر آب آبالو و آب انار مطابقت داشت و درصد اين تركيبات بعد از دو ماه کاهش پيدا کرده بودند [۱۹]. همچنين **Hernandez** و همكاران (۱۹۹۹)، تخریب تركيبات آنتوسيانين آب توت فرنگي را طی زمان بررسی کردن که به نتائج مشابهی دست پيدا کردن [۲۰]. همچنين نور سبب القاي واکنش هاي اتواكسيداسيون شده و در نتيجه تجزيه آنتوسيانين ها را تسريع مى نمایند. **Laleh** و همكاران (۲۰۰۱)، ميزان تغييرات تركيبات

می تواند بهترین مدل جهت تعیین مدل سازی سیستیکی رفتار رهایش ترکیبات زیست فعال در چهار تیمار به کار رود.

۲-۳- نتیجه گیری

در تحقیق حاضر شرایط بهینه میزان هسته به پوشش در روش خشک کردن پاششی به منظور تولید پودرهای ریزدرون پوشانی شده عصاره آب انار با محتوای بالای آنتوسیانین، فنل کل و فعالیت آنتی اکسیدانی ارزیابی شد. شرایط بهینه به دست آمده شامل ۵/۷۰ درصد ترکیبات هسته و ۱۸/۵۰ درصد مالتودکستربین (پوشش دیواره) با مطلوبیت ۷/۰ می باشد. میزان آنتوسیانین، فنل کل و فعالیت آنتی اکسیدانی در نقطه بهینه به ترتیب ۸۸/۳۰۹ میلی گرم در میلی لیتر ۲۳/۶۳۶، میکروگرم بر میلی لیتر بر حسب گالیک اسید و ۳۶/۲۱۷ درصد بود. آنالیز رگرسیون خطی چندگانه در قالب توابع درجه دوم ریاضی در رهایش ترکیبات زیست فعال نشان داد که این مدل ها از قابلیت متناسبی به منظور برازش داده های تجربی بدست آمده برای متغیرهای پاسخ شامل راندمان پودرهای تولیدی، محتوای ترکیبات آنتوسیانین، فنل و آنتی اکسیدانی عصاره برخوردار می باشند.

رادیکال آزاد در آب پرتقال طی شش ماه نگهداری در دمای ۳۸ درجه سانتی گراد کاهش می یابد. به طور عمده، دلیل اصلی کاهش ترکیبات آنتی اکسیدانی ناشی از دست رفتن آسکوربیک اسید طی دوره نگهداری می باشد[۲۴]. Igual و همکاران در سال ۲۰۱۱ آب انگور را به مدت دو ماه در دمای ۴-۱۸ درجه سانتی گراد نگهداری و فعالیت آنتی اکسیدانی آن را بررسی کردند. نتایج بیانگر آن بود که فعالیت آنتی اکسیدانی نمونه های نگهداری شده در دمای ۱۸ درجه سانتی گراد بیشتر از نمونه های نگهداری شده در ۴ درجه درجه سانتی گراد بود [۲۶]. Noranizan و همکاران (۲۰۱۲) نیز تاثیر حرارت و نور ماوراء بنشش را بر پایداری ترکیبات آنتی اکسیدانی آب آناناس در مدت زمان ماندگاری در یخچال را بررسی کردند. میزان ترکیبات آنتی اکسیدانی در طول مدت نگهداری در نور کاهش چشمگیری داشته است [۲۷]. بر اساس تحلیل نتایج مدل سازی می توان نتیجه گرفت که در پژوهش حاضر، مدل درجه دوم با حداقل مقدار R و حداقل مقدار RMSE توسط ابزار برازش متب

۴- علایم و اختصارات

فعالیت آنتی اکسیدانی	\mathbf{Y}_3	وزن مولکولی سیانیدین-۳-گلوکوزید (۴۴۹,۲)	\mathbf{M}_w
میزان پوشش	\mathbf{A}	فاکتور رقیق سازی	\mathbf{DF}
میزان هسته	\mathbf{B}	ضریب خاموشی سیانیدین-۳-گلوکوزاید (۲۴۸۶۵)	$\mathbf{\epsilon}$
ضریب همبستگی	\mathbf{R}^2	عرض سل (۱ سانتی متر در نظر گرفته شد)	\mathbf{L}
ضریب همبستگی تنظیم یافته	\mathbf{R}^2_{adj}	رادیکال آزاد DPPH اولیه(جدب در ۷۱۵ نانومتر)	$\mathbf{DPPH_c}$
ضریب دقت کافی	\mathbf{ADP}	رادیکال آزاد DPPH در شرایط پایا(جدب در ۷۱۵ نانومتر)	$\mathbf{DPPH_{cc}}$
ضریب تغییرات	\mathbf{CV}	رادیکال آزاد DPPH باقیمانده در شرایط پایا(جدب در ۷۱۵ نانومتر)	$\mathbf{DPPH_{rem}}$
		آنتوسیانین	\mathbf{Y}_1
		فنل کل	\mathbf{Y}_2

Investigation of suitable spray drying conditions for sugarcane juice powder production with an energy consumption study, *Agriculture and Natural Resources*, 50, 139-145.

[3] Oakley, D. (1997). Produce uniform particles by spray drying, *Chemical Engineering Progress*, 93, 48-58.

۵- منابع

- [1] Krishnaiah, D., Nithyanandam, R. & Sarbatly, R. (2014). A Critical review on the spray drying of fruit extract: Effect of additives on physicochemical properties, *Food Science and Nutrition*, 54, 449-473.
- [2] Khuenpet, K., Charoenjarasrerk, N., Jaijit, S., Arayapoonpong, S. & Jittanit, W. (2016).

- [13] Soottitanatawat, A., Yoshi, H., Furuta, T., Ohgawara, M. & Linko, P. (2005). Influence of emulsion and powder size on the stability of encapsulated d-limonene by spray drying, *Innovative Food Science of Emerging Technology*, 6(1), 107-114.
- [14] Lu, X., Wang, J., Al-Qadiri, H. M., Ross, C. F., Powers, J. R., Tang, J., & Rasco, B. A. (2011). Determination of total phenolic content and antioxidant capacity of onion (*Allium cepa*) and shallot (*Allium oschaninii*) using infrared Spectroscopy, *Food Chemistry*, 129, 637-644.
- [15] Yousefi, Sh., Emam-Djomeh, Z., Mousavi, M., Kobarfard, F. & Zbicinski, I. (2014). Retention rate enhancement of antioxidant and cyaniding 3-o-glucoside components of the reconstituted product from spray-dried black raspberry juice by optimizing process parameters, *Drying Technology*, 32, 1683-1691.
- [16] Garzin, G.A. & Worstad. R.F. (2001).The stability of pelargonidin based anthocyanins in solution, *Photochemistry Anal*, 9, 28-34.
- [17] Gharibzahedi, S. M. T., Razavi, S. H. & Mousavi, S. M. (2015a). Optimization and kinetic studies on the production of intracellular canthaxanthin in fed-batch cultures of *Dietzia natronolimnaea* HS-1, *Quality Assurance and Safety of Crops & Foods*, 7, 757-767.
- [18] Tumbassaponja, J., Cetkovic,G., Jakisic, M., Djilas , S .& Vulic sladana stajcic, S. (2016). Encapsulation of beetroot pomace Extract: RSM Optimization, storage and Gastrointestinal stability, *Journal of Molecules*, 21, 1-16.
- [19] Ray, S., Raychaudhuri, U. & Chakraborty, R. (2016). An overview of encapsulation of active compound used in food products by drying technology, *Food Bioscience*, 13, 76-83.
- [20] Hernandez, F., Melgarejo, P. & Tomás-barberan, F. (1999). Evaluation of juice anthocyanins during ripening of new selected pomegranate (*Punica granatum*) clones, *European Food Research & Technology*, 39, 42-210.
- [21] Laleh, G. H., Frydoonfar, H., Heidary, R., Jamaei, R. & Zare, S. (2006). The effect of [4] Tehranifar, A., Zarei, M., Nemati, Z., Esfandiyari, B. & Vazifeshenas, M.R.,(2010). Investigation of physico-chemical properties and antioxidant activity of twenty Iranian pomegranate (*Punica granatum* L.) cultivars, *Scientia Horticulturae*, 126, 180-185.
- [5] Mousavinejad, G., Emam-Djomeh, Z., Rezaei, K., & Haddad Khodaparast, M. H. (2009). Identification and quantification of phenolic compounds and their effects on antioxidant activity in pomegranate juices of eight Iranian cultivars. *Food Chemistry*, 115, 1274-1278.
- [6] Tezcan, F., Gültekin-Özgüven, M., Diken, T., Özçelik, B., & Erim, F. B. (2009). Antioxidant activity and total phenolic, organic acid and sugar content in commercial pomegranate juices. *Food Chemistry*, 115, 873-877.
- [7] Mirsaedghazi, H., Emam-Djomeh, Z., Mousavi, S. M., Ahmadkhaniha, R., & Shafiee, A. (2010). Effect of membrane clarification on the physicochemical properties of pomegranate juice, *International Journal of Food Science & Technology*, 45, 1457-1463.
- [8] González-Molina, E., Moreno, D.A., & García-Viguera, C. (2009). A new drink rich in healthy bioactives combining lemon and pomegranate juices. *Food Chemistry*, 115(4), 1364-1370.
- [9] Cavalcanti, R. N., Santos, D. T., & Meireles, M. A. A. (2011). Non-thermal stabilization mechanisms of anthocyanins in model and food systems—An overview, *Food Research International*, 44, 499–509.
- [10] Gibbs, B. F., Ketmasha, S., Alli, I. & Mulligan, C. N. (1999). Encapsulation in the food industry: a review, *International Jounal of Food Sciences and Nutrition*, 50, 213-224.
- [11] Yousefi, Sh., Emam-Djomeh, Z., Mousavi, M., Kobarfard, F. & Zbicinski, I. (2015). Developing spray-dried powders containing anthocyanins of black raspberry juice encapsulated based on fenugreek gum, *Advanced Powder Technology*, 26, 462-469.
- [12] Gula, A., M, & Adamopoulos, K.G. (2005). Spray drying of tomato pulp in dehumidified air:The effect of powder properties, *Journal of Food Engineering*, 66, 35-42.

- [25] Wrolstad, R.E., Durst, R.W. & Lee, J. (2005). Tracking color and pigment changes in anthocyanin products, *Trends in Food Science & Technology*, 16, 423-428.
- [26] Igual, M., Garcia-Martinez, E., Camacho, M. & Martinez-Navarrete, N. (2011). Chang in flavonoid content of grapefruit juice caused by thermal treatment and storage, *Innovative Food Science & Emergency Technologies*, 12, 153-162.
- [27] Noranizan, M.A., China, S.L., Shamsudin, R. & Ramliwandaud, W. (2012). The effect of storage on the quality attributes of ultraviolet-irradiated and thermally pasteurized pineapple juice, *International Journal of Food Research*, 19(3), 1001-1010.
- [28] light, temperature, pH and species, *Department of surgical science*, 5(1), 90-92.
- [29] Savatovic, S., Tepic, A., Sumic, Z., Nicolic, M. (2009). Antioxidant activity of polyphenol enriched apple juice, *Journal APTEFF*, 40, 95-102.
- [30] Rababah, T.M., Hettiarachechy, N.S. & Horax, R. (2004). Total Phenolics, *Iranian Journal of Food Science and Technology*, 13, 137-148.
- [31] Klimczak, I., Malecka, M., Szlachta, M. & Gliszcsyska-swiglo, A. (2007). Effect of storage on the content of polyphenols, vitaminC and antioxidant activity of orange juice, *Journal of food composition and analysis*, 20, 313-322.



Study of bioactive compounds release behavior from pomegranate juice-based microencapsulated powders using experimental models

Amirsalmanipour, S. ¹, Yousefi, Sh. ^{2*}, Hosseinpour, M. ³

1. Graduated master, Department of Food industry group, Faculty of Agriculture, Islamic Azad University, Research Sciences Branch, Tehran, Iran.
2. Assistant professor, Department of food industry group, Faculty Agriculture, Islamic Azad University, Research Sciences Branch, Tehran, Iran.
3. Assistant professor, Department of Food industry group, Faculty Agriculture, Islamic Azad University, Research Sciences Branch, Tehran, Iran.

ARTICLE INFO

ABSTRACT

Article History:

Received 2020/07/20
Accepted 2020/11/01

Keywords:

Pomegranate,
Microcapsulation,
Release,
Maltodextrin,
Modeling.

DOI: 10.52547/fsct.19.122.297

DOR: 20.1001.1.20088787.1401.19.122.2.5

*Corresponding Author E-Mail:
shyousefi81@gmail.com

Spraying drying method is one of the most important ways to prevent the loss of strategic food products and increase their shelf life. Optimizing the operating conditions of this system can be a good platform for the production of products with ideal physicochemical quality. In this study, the effect of different wall concentrations (maltodextrin) on the core (pomegranate juice extract) on efficacy encapsulation, concentration of polyphenolic compounds (μg garlic acid /ml), antioxidants (%), anthocyanins (mg/ml), using the RSM and the central composite design were investigated. The optimization rate was based on the highest amount of anthocyanin, polyphenol and antioxidant activity. Optimized conditions were: 5.70% for core compounds and 18.50% for maltodextrin as wall coatings with 70% permeability using SPSS statistical software (Version 16, USA). To compare the experimental results and the model in the form of t-student test and for the optimal experimental results, the factorial design in the form of a randomized complete block at the 95% probability level was used. The effect of microcapsulation process on the release rate of bioactive compounds during 60 days of storage was analyzed in 4 treatments: refrigerator-dark, refrigerator-light, medium-dark, environment-light. The results of the analysis of variance showed a significant difference between the 4 treatments ($p < 0.05$) and the refrigerator-dark treatment had the highest stability compared to other treatments. MATLAB software was fitted for all three groups of antioxidants, polyphenols, anthocyanins, the First-order model was selected as the top model. Finally, under optimal conditions, the production of microdermabrasion powder can be considered to develop the enrichment of food products with the obtained powders